

Relationship of aspect transverse ratio and capsule invasion of papillary thyroid microcarcinoma with different size and location

GUO Jingjing, XUE Ensheng*, YU Liyun, LIANG Rongxi, YANG Jiajia, CHEN Shun

(Department of Ultrasound, Union Hospital of Fujian Medical University, Fujian

Provincial Institute of Ultrasonic Medicine, Fuzhou 350001, China)

[Abstract] **Objective** To analyze the ultrasonic features of papillary thyroid microcarcinoma (PTMC) with different size and location, and to investigate the relationship of aspect transverse ratio (A/T) and capsule invasion in PTMC. **Methods** Totally 407 patients of PTMC with 495 nodules confirmed by pathology were enrolled. The nodules were divided into largest diameter ≤ 0.5 cm group and largest diameter > 0.5 cm group. The ultrasonic signs of nodules were observed, and the relationship between A/T and thyroid capsule invasion was analyzed. **Results** The differences of blood type, relationship with capsule, calcification, morphology and A/T were statistically significant between the two groups (all $P < 0.05$). In nodules closed to capsule and $A/T \geq 1$, the rate of capsule invasion in diameter > 0.5 cm group (117/185, 63.24%) was higher than that in diameter ≤ 0.5 cm group (25/61, 40.98%, $P < 0.01$). Taking $A/T \geq 1$ as the standard, the sensitivity of A/T in estimating capsule invasion of nodules closed to capsule in diameter ≤ 0.5 cm group and diameter > 0.5 cm group was 89.29% and 73.58%, the specificity was 29.41% and 37.61%, respectively. In nodules adjacent to capsule and broken through capsule, the difference of capsule invasion rate was not significant between nodules with $A/T \geq 1$ and $A/T < 1$ (both $P > 0.05$). In nodules that contact capsule, the capsule invasion rate of $A/T \geq 1$ nodules (46/67, 68.66%) was higher than that of $A/T < 1$ (10/27, 37.04%). Taking $A/T \geq 1$ as the standard, the sensitivity of A/T in estimating capsule invasion of nodules touched capsule was 82.14%, and the specificity was 44.74%. **Conclusion** Ultrasonography can show the size, A/T and relationship with capsule in PTMC, which can provide diagnostic evidences in judging capsule invasion of PTMC.

[Key words] Thyroid neoplasms; Ultrasonography; Aspect transverse ratio; Capsule

DOI:10.13929/j.1003-3289.201710005

不同大小及位置甲状腺微小乳头状癌纵横比与 被膜侵犯的关系

郭晶晶,薛恩生*,俞丽云,梁荣喜,杨嘉嘉,陈舜

(福建医科大学附属协和医院超声科 福建省超声医学研究所,福建 福州 350001)

[摘要] **目的** 分析不同大小、位置甲状腺微小乳头状癌(PTMC)的声像图特征,探讨纵横比(A/T)与甲状腺被膜侵犯的关系。**方法** 收集经病理证实的407例PTMC患者(495个结节),分为最大径 ≤ 0.5 cm组和最大径 > 0.5 cm组,观察结节的声像学特征,并分析A/T与被膜侵犯的关系。**结果** 2组间血流类型、病灶与被膜关系、钙化、形态、A/T差异均

[基金项目] 福建医科大学苗圃基金(2015MP013)。

[第一作者] 郭晶晶(1985—),女,浙江丽水人,硕士,主治医师。研究方向:浅表器官及产科超声。E-mail: 53564473@qq.com

[通信作者] 薛恩生,福建医科大学附属协和医院超声科,福建省超声医学研究所,350001。E-mail: xuees31@163.com

[收稿日期] 2017-10-03 **[修回日期]** 2018-03-31

有统计学意义(P 均 <0.05)。与被膜关系密切且 $A/T \geq 1$ 的结节中,最大径 >0.5 cm组被膜侵犯率(117/185, 63.24%)高于最大径 ≤ 0.5 cm组(25/61, 40.98%, $P < 0.01$)。以 $A/T \geq 1$ 判断最大径 ≤ 0.5 cm组和最大径 >0.5 cm组与被膜关系密切的结节出现被膜侵犯的敏感度为89.29%、73.58%,特异度为29.41%、37.61%;紧邻被膜和突破被膜的结节中, $A/T \geq 1$ 与 $A/T < 1$ 的结节间被膜侵犯率差异均无统计学意义(P 均 >0.05);接触被膜的结节中, $A/T \geq 1$ 的结节被膜侵犯率(46/67, 68.66%)高于 $A/T < 1$ 的结节(10/27, 37.04%)。以 $A/T \geq 1$ 判断接触被膜的结节出现被膜侵犯的敏感度为82.14%,特异度为44.74%。**结论** 超声可观察PTMC大小、 A/T 及病灶与被膜的关系,为判断PTMC是否出现被膜侵犯提供诊断依据。

[关键词] 甲状腺肿瘤;超声检查;纵横比;被膜

[中图分类号] R736.1; R445.1 [文献标识码] A [文章编号] 1003-3289(2018)06-0850-05

甲状腺癌微小癌直径 ≤ 1 cm,其中绝大部分为甲状腺微小乳头状癌(papillary thyroid microcarcinoma, PTMC)。是否存在被膜侵犯直接影响PTMC的治疗方式^[1-3],而被膜侵犯与肿瘤大小、生长位置等密切相关^[4]。纵横比(aspect transverse ratio, A/T)指肿瘤前后径(纵径)与左右径或上下径(横径)的比值,目前多认为 $A/T \geq 1$ 提示肿瘤前后方向的癌细胞增殖分裂更活跃^[5],使病灶呈纵向生长。本研究分析不同大小、位置PTMC的声像图特征,探讨PTMC结节 A/T 与甲状腺被膜侵犯间的关系。

1 资料与方法

1.1 一般资料 收集2014年1月—2014年12月我院经手术病理证实的407例PTMC患者,男89例,女318例,年龄12~79岁,平均(46.6±11.8)岁;共检出495个PTMC结节,均行手术切除并获得病理结果。根据PTMC最大径,将结节分别归入最大径 ≤ 0.5 cm组($n=159$)或最大径 >0.5 cm组($n=336$)。

1.2 仪器与方法 采用GE Logiq E9、Toshiba Aplio 500彩色多普勒超声诊断仪,探头频率7.5~14.0 MHz。嘱患者仰卧,充分暴露颈部,以横切、纵切及任意切面扫查双侧甲状腺,观察结节边界、与甲状腺被膜关系、形态、钙化及血流分型等,测量结节前后径和左右径或上下径,计算 A/T , $A/T =$ 前后径/左右径或上下径,任一 A/T 结果 ≥ 1 即判定该结节为 $A/T \geq 1$ 。PTMC病灶与甲状腺被膜关系:**①**与被膜无关;**②**与被膜关系密切:紧邻被膜(被膜完整),接触被膜(被膜模糊不清),突破被膜(与甲状腺周围组织粘连,被膜连续性中断)。形态规则指结节呈圆形或椭圆形;形态不规则指结节呈分叶状或边缘局部成角改变等。微钙化指钙化灶最大径 <1 mm,粗大钙化指钙化灶最大径 ≥ 1 mm。血流分型标准:**I型:**结节内部及周边均无血流信号;**II型:**结节周边见少量血流信号,内部无或少量星点状血流信号;**III型:**结节周边少或无血流信号,内部见丰富条状血流信号;**IV型:**结节周边及内部均见条状丰富血流

信号。

1.3 统计学方法 采用SPSS 16.0统计分析软件,以 χ^2 检验比较2组间各超声征象的差异, $P < 0.05$ 为差异有统计学意义。以病理结果为金标准,计算以 $A/T \geq 1$ 判断PTMC出现被膜侵犯的敏感度、特异度、阳性预测值和阴性预测值。

2 结果

407例中,64例为多发结节,343例为单发结节,共检出495个结节,病理发现196个结节存在甲状腺被膜侵犯。最大径 ≤ 0.5 cm组共159个结节,其中31个(31/159, 19.50%)侵犯甲状腺被膜;最大径 >0.5 cm组共336个结节,其中165个(165/336, 49.11%)侵犯甲状腺被膜($\chi^2 = 39.56$, $P < 0.01$)。2组间血流类型、病灶与被膜关系、钙化、形态、 A/T 差异均有统计学意义(P 均 <0.05),而结节边界差异无统计学意义($P > 0.05$);见表1,图1、2。

495个结节中,347个结节与被膜关系密切,其中246个 $A/T \geq 1$,101个 $A/T < 1$;148个结节与被膜无关,其中108个 $A/T \geq 1$,40个 $A/T < 1$ ($\chi^2 = 0.22$, $P = 0.64$)。246个与甲状腺被膜关系密切且 $A/T \geq 1$ 的结节中,61个最大径 ≤ 0.5 cm,其中25个(25/61, 40.98%)结节侵犯甲状腺被膜;185个最大径 >0.5 cm组,其中117个(117/185, 63.24%)侵犯甲状腺被膜($\chi^2 = 9.31$, $P < 0.01$)。101个与甲状腺被膜关系密切且 $A/T < 1$ 的结节中,18个最大径 ≤ 0.5 cm,其中3个(3/18, 16.67%)结节侵犯甲状腺被膜;83个最大径 >0.5 cm,其中42个(42/83, 50.60%)侵犯甲状腺被膜($\chi^2 = 6.90$, $P = 0.01$),见表2。

以 $A/T \geq 1$ 判断最大径 ≤ 0.5 cm组中与被膜关系密切的结节出现被膜侵犯,其敏感度、特异度、阳性预测值及阴性预测值分别为89.29%(25/28)、29.41%(15/51)、40.98%(25/61)及83.33%(15/18)。

以 $A/T \geq 1$ 判断最大径 >0.5 cm组中与被膜关系密切的结节出现被膜侵犯,敏感度为73.58%(117/159),特

表1 最大径≤0.5 cm组与最大径>0.5 cm组PTMC各超声征象比较[个(%)]

组别	A/T		边界		钙化		
	≥1	<1	不清	清晰	微钙化	粗大钙化	无钙化
最大径≤0.5 cm组(n=159)	131(82.39)	28(17.61)	127(79.87)	32(20.13)	47(29.56)	9(5.66)	103(64.78)
最大径>0.5 cm组(n=336)	223(66.37)	113(33.63)	264(78.57)	72(21.43)	197(58.63)	25(7.44)	114(33.93)
χ ² 值	13.60		0.11			42.43	
P值	<0.01		0.74			<0.01	
组别	与被膜关系		形态		血流类型		
	无关	关系密切	规则	不规则	0~II型	III~IV型	
最大径≤0.5 cm组(n=159)	80(50.31)	79(49.69)	67(42.14)	92(57.86)	138(86.79)	21(13.21)	
最大径>0.5 cm组(n=336)	68(20.24)	268(79.76)	96(28.57)	240(71.43)	265(78.87)	71(21.13)	
χ ² 值	46.58		8.99			4.48	
P值	<0.01		<0.01			0.03	

异度为37.61%(41/109),阳性预测值为63.24%(117/168),阴性预测值为49.40%(41/83)。

347个与被膜关系密切的结节中,128个紧邻被膜,94个接触被膜,125个突破被膜。紧邻被膜且A/T≥1的结节中,仅14.61%(13/89)侵犯被膜,与A/T<1结节比较差异无统计学意义($\chi^2=1.53$,P=0.22);接触被膜且A/T≥1结节中,68.66%(46/67)侵犯被膜,与A/T<1结节比较差异有统计学意义($\chi^2=1.99$,P=0.01);突破被膜且A/T≥1结节中,92.22%(83/90)侵犯被膜,与A/T<1结节比较差异无统计学意义($\chi^2<0.01$,P=0.99);见表3。以A/T≥1判断接触被膜的结节出现被膜侵犯的敏感度为82.14%(46/56),特异度为44.74%(17/38),阳性预测值为68.66%(46/67),阴性预测值为62.96%(17/27)。

表2 与被膜关系密切的结节中不同A/T及大小者被膜侵犯情况(个)

项目	侵犯被膜	未侵犯被膜
A/T≥1		
最大径≤0.5 cm组(n=61)	25	36
最大径>0.5 cm组(n=185)	117	68
A/T<1		
最大径≤0.5 cm组(n=18)	3	15
最大径>0.5 cm组(n=83)	42	41

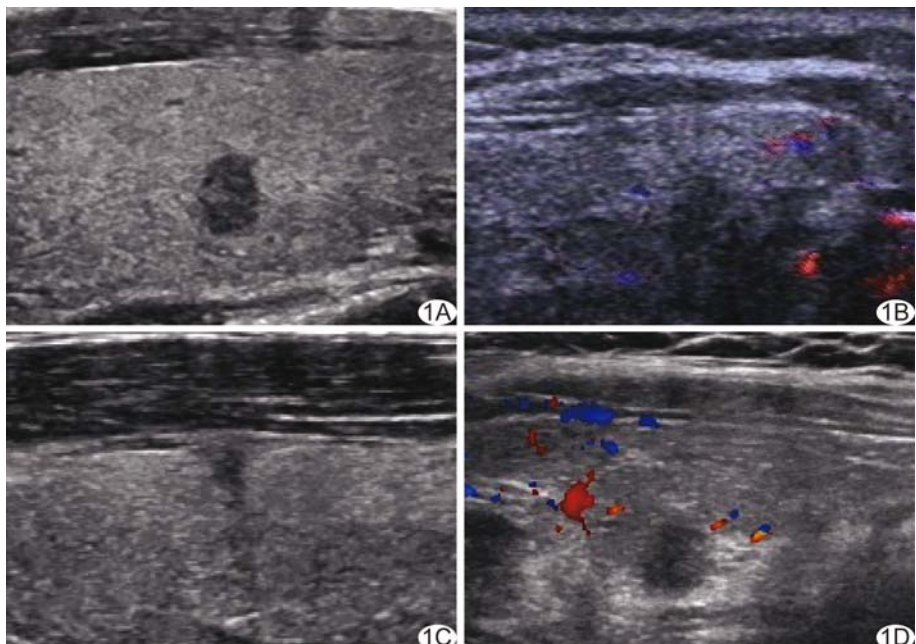


图1 最大径≤0.5 cm组患者PTMC结节A/T及其与甲状腺被膜的关系 A.患者女,33岁,结节A/T>1,与被膜无关;B.患者女,55岁,结节A/T<1,紧邻被膜;C.患者女,45岁,结节A/T>1,接触被膜;D.患者女,46岁,结节A/T>1,突破被膜

表3 与被膜关系密切的结节中不同位置关系及A/T者被膜侵犯情况(个)

项目	侵犯被膜	未侵犯被膜
紧邻被膜		
A/T≥1(n=89)	13	76
A/T<1(n=39)	2	37
接触被膜		
A/T≥1(n=67)	46	21
A/T<1(n=27)	10	17
突破被膜		
A/T≥1(n=90)	83	7
A/T<1(n=35)	33	2

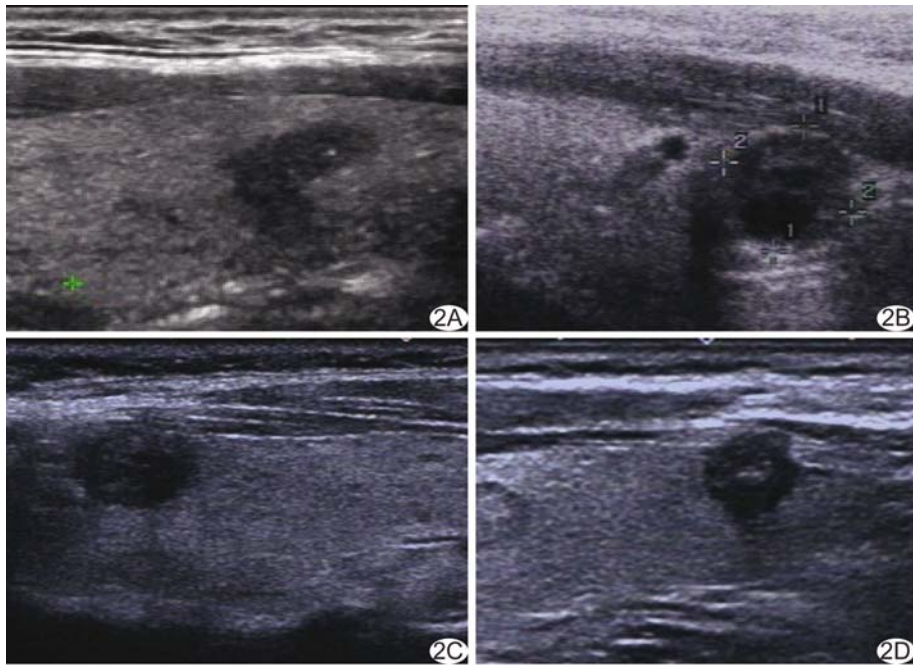


图2 最大径 $>0.5\text{ cm}$ 组患者PTMC结节A/T及其与甲状腺被膜的关系 A.患者女,48岁,结节A/T>1,与被膜无关;B.患者男,28岁,结节A/T>1,紧邻被膜;C.患者女,49岁,结节A/T<1,接触被膜;D.患者女,40岁,结节A/T>1,突破被膜

3 讨论

Yu等^[6]认为PTMC结节最大径 $>0.5\text{ cm}$ 是预测中心淋巴结转移的独立危险因素,提示较大的PTMC具有更强侵袭性及转移性生长能力,故本研究以 0.5 cm 为界对PTMC进行分组。丁珂等^[7]发现甲状腺乳头状癌(papillary thyroid carcinoma, PTC)与被膜接触范围越大,被膜侵犯发生率越高。本研究中最大径 $>0.5\text{ cm}$ 组165个($165/336, 49.11\%$)结节存在被膜侵犯,侵犯率高于最大径 $\leqslant 0.5\text{ cm}$ 组($\chi^2 = 39.56, P < 0.01$),提示较大结节更易出现被膜侵犯现象,推测原因在于较小结节处于肿瘤生长早期阶段,大部分肿瘤尚未接触被膜,故较少侵犯被膜,而较大结节已生长至被膜处,易侵犯被膜。

Lee等^[4]发现BRAF基因突变的PTC较未突变者A/T >1 出现率更高,而BRAF基因突变与PTC侵袭性相关^[8-9],提示A/T >1 是PTC侵袭性生长的征象。本研究中,最大径 $\leqslant 0.5\text{ cm}$ 组共79个结节与被膜关系密切,以A/T $\geqslant 1$ 判断其出现被膜侵犯的敏感度可达89.29%,但特异度仅为29.41%,提示以A/T $\geqslant 1$ 判断最大径 $\leqslant 0.5\text{ cm}$ 且与被膜关系密切的PTMC出现被膜侵犯不易漏诊但易误诊;其阴性预测值则较高,达83.33%。而最大径 $>0.5\text{ cm}$ 组268个与被膜关系密切的结节中,以A/T $\geqslant 1$ 判断其侵犯被

膜的敏感度和阳性预测值分别为73.58%、63.24%,但特异度和阴性预测值较低,分别为37.61%、49.40%,提示以A/T $\geqslant 1$ 判断不同大小、与被膜关系密切的PTMC出现被膜侵犯,并不同具备较高敏感度和特异度。

PTC与被膜接触范围越大、关系越密切,侵犯被膜的可能性越大^[7,10]。本研究进一步将与被膜关系密切的结节分为紧邻被膜、接触被膜和突破被膜3种,分析以A/T $\geqslant 1$ 判断其出现被膜侵犯现象的价值。紧邻被膜且A/T $\geqslant 1$ 结节中,仅14.61%(13/89)侵犯被膜,提示甲状腺被膜回声带完整时,即使A/T $\geqslant 1$,其侵犯被膜的可能性亦较低;而在接触被膜且A/T $\geqslant 1$ 结节中,68.66%(46/67)侵犯被膜,高于

A/T <1 结节($P=0.01$),提示PTMC接触被膜(腺体被膜回声带模糊不清)时,A/T $\geqslant 1$ 结节更易侵犯被膜,以A/T $\geqslant 1$ 判断接触被膜的PTMC侵犯被膜,具有较高的敏感度(82.14%)。突破被膜且A/T $\geqslant 1$ 结节中,92.99%(83/90)出现被膜侵犯,但与A/T <1 结节比较差异无统计学意义($P=0.99$),提示PTMC突破被膜(腺体被膜回声带连续性中断)时,无论A/T是否大于1,均强烈提示被膜受侵。

PTMC向周边浸润生长时,部分乳头分支易发生缺血,细胞坏死后钙盐沉积而形成砂粒体^[11],极微小的砂粒体聚集后表现为微钙化灶。本研究最大径 $>0.5\text{ cm}$ 组58.63%(197/336)结节出现微钙化,出现率大于最大径 $\leqslant 0.5\text{ cm}$ 组(47/159, 29.56%, $P < 0.01$),原因在于较大结节易出现因缺血导致的乳头坏死,进而形成微钙化灶。恶性肿瘤分泌血管内皮生长因子促进血管新生,以供应肿瘤生长所需。有研究^[12]表明,甲状腺癌中血管内皮生长因子表达明显高于甲状腺良性病变;但Zhang等^[13]发现PTMC较良性结节表现为乏血供。本研究中PTMC也以0~Ⅱ型的低血流信号模式为主,考虑原因在于PTMC瘤体较小,新生血管细小,血流阻力较大,彩色超声对流速缓慢的微血管显示率较低,同时结节内钙化灶也会干扰血流信号的显示。

综上,本研究结果显示:①最大径 $>0.5\text{ cm}$ 的PTMC因瘤体较大、更易靠近被膜而出现被膜侵犯现象;②无论A/T是否大于1,紧邻被膜的PTMC出现被膜侵犯的可能性较低,突破被膜的PTMC出现被膜侵犯可能性较高;③接触被膜的PTMC中,A/T $\geqslant 1$ 结节较A/T <1 结节更易出现被膜侵犯,应用A/T $\geqslant 1$ 判断接触被膜的PTMC侵犯被膜具有较高敏感度。

[参考文献]

- [1] Liu Z, Lei J, Liu Y, et al. Preoperative predictors of lateral neck lymph node metastasis in papillary thyroid microcarcinoma. Medicine (Baltimore), 2017, 96(10):e6240.
- [2] Shi C, Guo Y, Lv Y, et al. Clinicopathological features and prognosis of papillary thyroid microcarcinoma for surgery and relationships with the BRAFV600E mutational status and expression of angiogenic factors. PLoS One, 2016, 11(12):e0167414.
- [3] 姜秋阳,陈树强,曾锦树,等.超声定量评价甲状腺结节包膜反应.中国医学影像技术,2017,33(12):1821-1823.
- [4] Lee DY, Hwang SM, An JH, et al. Predicting extrathyroidal extension in patients with papillary thyroid microcarcinoma according to a BRAF mutation. Clin Exp Otorhinolaryngol, 2017, 10(2):174-180.
- [5] 李裕生,薛恩生,梁荣喜,等.灰阶超声诊断甲状腺微小乳头状癌的Logistic回归分析.中国医学影像技术,2015,31(1):32-36.
- [6] Yu X, Song X, Sun W, et al. Independent risk factors predicting central lymph node metastasis in papillary thyroid microcarcinoma. Horm Metab Res, 2017, 49(3):201-207.
- [7] 丁珂,崔秋丽,严昆,等.常规超声与超声造影判断甲状腺乳头状癌被膜侵犯的应用价值.中华超声影像学杂志,2017,26(3):243-248.
- [8] 张婷婷,渠宁,史荣亮,等.BRAF V600E突变对甲状腺乳头状癌发生及预后的影响.中国癌症杂志,2017,27(2):145-150.
- [9] Niederer-Wust SM, Jochum W, Förbs D, et al. Impact of clinical risk scores and BRAF V600E mutation status on outcome in papillary thyroid cancer. Surgery, 2015, 157(1):119-125.
- [10] Cai YF, Wang QX, Ni CJ, et al. A scoring system is an effective tool for predicting central lymph node metastasis in papillary thyroid microcarcinoma: A case-control study. World J Surg Oncol, 2016, 14(1):45.
- [11] 张萍,李杰,张鹏华.高频超声对无钙化型甲状腺癌的诊断价值.医学影像学杂志,2016,26(3):538-540.
- [12] Wolinski K, Stangierski A, Szczepanek-Parulska E, et al. VEGF-C is a thyroid marker of malignancy superior to VEGF-A in the differential diagnostics of thyroid lesions. PLoS One, 2016, 11(2):e0150124.
- [13] Zhang Y, Luo YK, Zhang MB, et al. Diagnostic accuracy of contrast-enhanced ultrasound enhancement patterns for thyroid nodules. Med Sci Monit, 2016, 22:4755-4764.

《中国医学影像技术》投稿须知(一)

1 投稿方式 本刊已启用编辑系统,投稿请登陆本刊主页,点击左上角“作者登录”进入,首次投稿需要注册,登录编辑系统投稿,本刊不接受电子邮件投稿,软盘或信件投稿。内容包括:①作者单位推荐信和医学伦理知情同意书,推荐信中注明无一稿多投、不涉及保密、署名无争议三项,扫描上传;②正文内容,一律用宋体5号字,不分栏,页边距上下左右统一为1.5cm,以Word格式存储;③图片插入正文相应位置,图号不要标在图片上,标在图片下面,图片下面需要注明图号、图题、图片说明,格式为“图号 图题 图片说明”。本部通过E-mail告知您稿号,请谨记稿号,以便查询稿件情况。

2 审稿及录用 所有来稿均需经本刊编辑部初审、同行专家评议、作者修改,审稿人姓名对作者保密,投稿时作者可以提出要求回避的评审专家的姓名。本刊已启用学术不端检索系统,凡复制比达到或者超过15%的文章直接退稿,其余稿件根据本刊编委会评审意见、作者的修改情况以及论文质量等级,在刊出前决定稿件取舍。